

* اثر زمان عملیات زیر صفر عمیق روی ریزاساختار و خواص کششی فولاد ابزار ۱/۲۵۴۲

سید ابراهیم وحدت^(۱)

شمس الدین میردامادی تهرانی^(۲)

چکیده

برای افزایش کارآیی فولاد ابزار، دو گروه از خواص شامل سختی بالا و چقرمگی بالا اهمیت دارد. سختی با چقرمگی در تقابل است. با استفاده از عملیات زیر صفر عمیق می‌توان برای افزایش همزمان سختی، استحکام و چقرمگی اقدام نمود. به همین منظور از ۱۲ دسته نمونه فولاد ابزار ۱.2542، ۹ دسته به مدت ۲۴، ۳۶ و ۴۸ ساعت در دمای ۱۹۶- درجه سانتیگراد قرار گرفته و سپس به مدت ۱، ۲، ۱ و ۳ ساعت در دمای ۲۰۰ درجه سانتیگراد برگشت شده‌اند و ۳ دسته دیگر به عنوان نمونه استاندارد (شاهد) در نظر گرفته شده‌اند. در نهایت برای ۱۲ دسته نمونه، عملیات زیر صفر عمیق مجدد تکرار شد. نتیجه آنکه برای نمونه‌ای که ۳۶ ساعت در دمای ۱۹۶- درجه سانتیگراد و ۱ ساعت در دمای ۲۰۰ درجه سانتیگراد برگشت شده بود (نمونه ۳۶۱) به طور همزمان سختی ۱/۰ درصد، استحکام کششی ۲۷/۴ درصد، استحکام تسلیم ۲۳/۴ درصد و چقرمگی کششی ۱۳/۱ درصد نسبت به نمونه استاندارد افزایش یافت.

واژه‌های کلیدی استحکام؛ چقرمگی کششی؛ سختی؛ میکروسکوپ الکترونی روبشی؛ میکروسکوپ الکترونی عبوری

Effect of Duration of Deep Cryogenic Treatment on Microstructure and Tensile properties of 1.2542 tool steel

S. E. Vahdat

S. Nategh

SH. Mirdamadi Tehrani

Abstract

Two groups of tool steel properties, namely high hardness and high toughness, are important for the performance of tool steels. Any increase in hardness occurs at the expense of reduced toughness. Deep cryogenic treatment may be used for increasing toughness, strength and hardness simultaneously. 12 sets of 1.2542 tool steel specimens that 9 of which have been deep cryogenically treated for 24, 36, and 48h at -196 °C and have been tempered for 1, 2, and 3h at 200 °C and then double deep cryogenic treatment has been done. 3 sets were selected as standard specimens (control specimens). The best results, simultaneous improvement of 13.8% in toughness, 8.5% in hardness, 26.4% in tensile strength and 23.4% in yield strength were obtained for the specimen treated at -196 °C for 36 hours and then tempered at 200 °C for 1 hour (specimen 361).

Key Words Hardness; Scanning Electron Microscopy; Strength; Toughness; Transmission Electron Microscopy

* نسخه نخست مقاله در تاریخ ۹۳/۸/۲۴ و نسخه پایانی آن در تاریخ ۹۶/۷/۲۸ به دفتر نشریه رسیده است.

(۱) نویسنده مسئول: استادیار، دانشکده مهندسی، واحد آیت الله آملی، دانشگاه آزاد اسلامی، آمل، ایران.

(۲) استاد، دانشکده مهندسی، واحد علوم و تحقیقات تهران، دانشگاه آزاد اسلامی، تهران، ایران.

(۳) استاد، دانشکده مهندسی مواد، دانشگاه علم و صنعت ایران، تهران، ایران

با زمینه در نظر گرفته می‌شود.

mekanizm دوم در این عملیات، بر اثر اختلاف در ضربه انبساط حرارتی فازها، نابجایی جدید بوجود می‌آید و این نابجایی جدید مکانهای مناسبی برای تشکیل کاربید ثانویه است. بطور مثال کاربیدهای اولیه (Primary Carbide) بعنوان فازی با اختلاف ضربه انبساط حرارتی با زمینه در نظر گرفته می‌شود.

برای فولاد ابزار سردکار (Cr8Mo2SiV) DIN 1.2379 حاوی ۰/۹۸ درصد کربن، ۸/۶ دهم درصد کرم، ۲ درصد مولیبدن، ۰/۹۸ درصد سیلیسیم، ۰/۵ درصد وانادیم و فولاد ابزار سردکار (Cr12MoV) DIN 1.2363 حاوی ۱ درصد کربن، ۱۲ درصد کرم و مقدار کمی مولیبدن و وانادیم، سختی نسبت به نمونه استانداردش، بین ۱ تا ۴ درصد زیاد شد اما چقرمگی به یک سوم افت کرد [3]. برای فولاد (815M17) DIN 1.6587 حاوی ۰/۱۷ درصد کربن، ۱/۹ درصد کرم، ۱/۰۵ درصد نیکل، ۰/۹۲ درصد منگنز و ۱/۱۰ درصد مولیبدن، استحکام نسبت به نمونه استانداردش، ۹/۳۴ درصد افت داشت و از دیاد طول نزدیک به صفر شد [4]. برای فولاد DIN 1.6587 (18NiCrMo5) حاوی ۰/۱۸ درصد کربن، ۱/۲۵ درصد نیکل، ۰/۸ درصد کرم و ۰/۲ درصد مولیبدن، استحکام نسبت به نمونه استانداردش، تقریباً تغییری نداشت، از دیاد طول کمتر از ۱ درصد (ناچیز) گزارش شد و سختی کل ۲/۴ RC زیاد شد [5]. برخلاف سه محقق اخیر [3-5] برای فولاد ابزار سرد کار (Cr₈) DIN 1.2990 حاوی ۱ درصد کربن، ۸/۱ درصد کرم، ۲/۱ درصد مولیبدن، درصد وانادیم، ۱ درصد تنگستن و ۰/۹ درصد سیلیسیم، در عملیات زیر صفر عمیق با کاهش دمای آستانه، چقرمگی نسبت به عملیات مرسوم، افزایش یافت [6]. همچنین برای فولاد ابزار گرم کار (AISI H13) DIN 1.2344 حاوی ۰/۳۶ درصد کربن، ۴/۸۲ درصد کرم، ۱/۱۹ درصد مولیبدن، ۰/۹۶ درصد سیلیسیم و ۰/۸۶ وانادیم، با ۸ ساعت عملیات زیر صفر عمیق و ۲ ساعت برگشت در دمای ۵۶۰ درجه سانتیگراد، چقرمگی نسبت

مقدمه

خواص مطلوب برای افزایش کارآئی فولادهای ابزار شامل سختی، استحکام و مقاومت سایشی بالا و مقاومت ضربه ای بالا بطور همزمان می‌باشد. توانایی یک فلز برای برآوردن نیازهای فوق با خواص فیزیکی و مکانیکی آن تعیین می‌شود. خواص فیزیکی و مکانیکی فلز، وابستگی زیادی به ریزساختار آن دارد.

اغلب فولادهای ابزار نسبتاً دارای کربن زیاد می‌باشند. لذا عملیات حرارتی سختکاری و برگشت آنها منجر به تشکیل آستانتیت باقیمانده در ریزساختار آن می‌شود. طی کار کرد قطعه بر اثر تنشهای مکانیکی وارد، آستانتیت باقیمانده به مارتنتزیت، استحاله می‌یابد. استحاله آستانتیت باقیمانده به مارتنتزیت تقریباً با ۴ درصد افزایش حجم همراه می‌باشد. بر اثر این انبساط (به مقدار ناچیزی) ابعاد تغییر می‌کند. علاوه بر آن، انبساط در زمینه سبب اعوجاج و عیوب شده که نهایتاً منجر به تشکیل ترک و نهایتاً کاهش عمر مفید فولاد ابزار می‌گردد.

برای حل این مشکل، روشی به نام عملیات زیر صفر ابداع شد. مکانیزم اول در این عملیات، آستانتیت باقیمانده به مارتنتزیت تبدیل می‌شود و در اثر این تبدیل یعنی انبساط ناشی از استحاله، چگالی تعداد نابجایی بالا می‌رود. در عملیات حرارتی برگشت، اتمهای کربن به سمت نزدیکترین نابجایی جذب می‌شوند و در نتیجه غلظت بالایی از کربن در اطراف نابجایی ایجاد می‌شود. به این ترتیب مکانهای مناسبی برای تشکیل کاربید ثانویه (Secondary Carbide) در دماهای پایین برگشت، حاصل می‌شود. نتیجه این عمل، کاهش مقدار آستانتیت باقیمانده و افزایش تعداد ذرات کاربید ثانویه است که مقاومت سایشی و سختی کل را بهبود می‌دهد [1-3].

mekanizm دوم در این عملیات، بر اثر اختلاف در ضربه انبساط حرارتی فازها، نابجایی جدید بوجود می‌آید و این نابجایی جدید مکانهای مناسبی برای تشکیل کاربید ثانویه است. بطور مثال کاربیدهای اولیه (Primary Carbide) بعنوان فازی با اختلاف ضربه انبساط حرارتی Carbide

افزایش زمان عملیات زیرصرف عمیق مقدار کاربید اولیه ثابت باقی می‌ماند در صورتیکه مقدار کاربیدهای ثانویه رو به افزایش است [1]. با توجه به اینکه با انجام عملیات زیرصرف عمیق روی فولادهای ابزار گاهای خواص مکانیکی و عمدتاً خواص سایشی بهبود می‌یابد بنابراین کاربیدهای اولیه نسبت به کاربیدهای ثانویه، نقش کمتری در افزایش خواص مکانیکی دارند. لذا در این تحقیق، مطالعه روی کاربیدهای ثانویه مدنظر است. به این ترتیب، مکانیزم تشکیل و رشد کاربیدهای ثانویه، نحوه تشکیل، مکان تشکیل و سرعت رشد آنها را معین می‌کند و کنترل و پیش‌بینی اندازه، مقدار و توزیع کاربیدهای ثانویه میسر شده و در نهایت ساختار و در نتیجه خواص مطلوب حاصل می‌شود.

تاکنون تمرکز زیادی روی فولادهای ابزار پرکربن و پرآلیاژ صورت گرفته است [1-10] در حالیکه مقدار عناصر آلیاژی در فولاد ابزار مورد تحقیق کم بوده و مقدار کربن در حد متوسط است. بنابراین ریزساختار از نظر کیفی و کمی تفاوت دارد. حضور عناصر کاربیدزای قوی مانند تنگستن و کروم سبب ایجاد انواع کاربید در ابعاد مختلف می‌شود. اندازه، شکل، چگالی تعداد ذرات و ترکیب شیمیایی این کاربیدها موضوع دیگر تحقیق است. اگرچه در کتاب کلید فولاد [11] برای فولاد ابزار مورد تحقیق، کوئچ روغن و سپس برگشت در ۴۵۰ درجه سانتیگراد (نمونه استاندارد) را توصیه نموده است اما برای ایجاد نابجایی بیشتر (مکانهای بیشتر برای سهولت تشکیل کاربید ثانویه) و در نهایت برای دستیابی به خواص مطلوب‌تر با کوئچ در آب و سپس عملیات زیرصرف عمیق و برگشت مقایسه می‌شود.

محققین زیادی تاثیر عملیات زیرصرف عمیق را روی خواص مکانیکی شامل سختی، استحکام کششی، چقرمگی و استحکام خستگی فولادهای ابزار مطالعه نموده‌اند اما همه آنها بجز دو محقق [12 و 1]، مطالعات ریزساختاری انجام نداده‌اند. در این تحقیق، این خلا-

به عملیات مرسوم، ۲۰ درصد افزایش یافت [7]. برای فولاد مارایجینگ گروه ۲۸۰۰ مگاپاسکال حاوی ۰/۰۳۷ درصد کربن، ۱۷/۸۸ درصد نیکل، ۱۴/۷۵ درصد کبالت، ۶/۶۹ درصد مولیبدن و ۱/۱ درصد تیتانیم، با عملیات سرد ۴۷۰ درجه سانتیگراد و برگشت در دمای ۵۳۰ درجه سانتیگراد به مدت ۴ ساعت، چقرمگی و استحکام بطور همزمان افزایش یافت [8].

مشاهده شد که به هنگام تغییر شکل، در زمینه نرم فولاد، ذرات بین فلزی بیرون کشیده می‌شوند [9]. علاوه بر آن، مشاهده شد که به هنگام سایش، در زمینه نرم فولاد DIN 1.2379 (AISI D2) حاوی ۱/۵۴ درصد کربن، ۱۱/۸۸ درصد کرم، ۰/۷۶ درصد مولیبدن و ۰/۷۵ درصد وانادیم، ذرات کاربید ثانویه بیرون کشیده می‌شود حال آنکه ذرات کاربید اولیه خرد می‌شوند [10]. بنابراین ذرات کاربید ثانویه در زمینه نرم فولاد، رفتار کامپوزیتی دارند.

با توجه به مطالب اخیر [3-10]، دلیل این اختلافات چیست؟ احتمالاً محققینی که کاهش چقرمگی را گزارش کردند [3-5] از شرایط عملیاتی مناسب برای ایجاد ریزساختار مناسب استفاده نکردند چون دسته نمونه‌های آنها برای انجام شرایط عملیاتی، کافی نبوده است در حالیکه محققینی که افزایش چقرمگی را گزارش کردند [6-8] اگرچه دسته نمونه‌های آنها کافی نبود اما بطور تصادفی (یا شاید آگاهانه چون در مقالات آنها دلیل انتخاب شرایط عملیاتی ذکر نشده بود) از شرایط عملیاتی مناسب برای این منظور استفاده کردند. لذا با این عملیات می‌توان چقرمگی، سختی و مقاومت به سایش را بطور همزمان افزایش داد. به این ترتیب یک هدف از این تحقیق، مطالعه شرایط عملیاتی و مکانیزم آن برای ایجاد ساختار مناسب برای فولاد ابزار کم آلیاژ-کربن متوسط مورد تحقیق است.

در عملیات زیرصرف عمیق فولادهای ابزار، ریزساختار عمدتاً شامل کاربیدهای اولیه و ثانویه در زمینه مارتزیت برگشت شده است. برای فولاد ابزار DIN 1.2379 با

برگشت؛ دماهای آستینیت و زیر صفر و برگشت؛ سرعهای گرم و سرد کردن می‌باشد. در این تحقیق شش متغیر ثابت نگه داشته می‌شود و فقط دو متغیر به نامهای زمان زیر صفر عمیق و زمان برگشت، متغیر تحقیق در نظر گرفته می‌شود. برای مطالعه ریزساختاری و خواص سختی، استحکام کششی و چقمرمگی، ۱۲ دسته نمونه که هر دسته شامل ۳ نمونه است استفاده شد تا برای نتیجه‌گیری مطلوب، داده‌های کافی فراهم باشد.

عملیات زیر صفر عمیق و همچنین برگشت آن با کمک دستگاه کرایوجنیک قابل برنامه‌ریزی انجام شد. این دستگاه در دانشکده مکانیک سازمان پژوهش‌های علمی و صنعتی ایران طراحی و ساخته شده است [15]. فاصله زمانی بین عملیات کوئنچ (سختکاری) و عملیات زیر صفر عمیق، ۱۷ دقیقه بود که با زمان سایر محققان [1] تطابق خوبی دارد. با توجه به قابلیت این دستگاه، برگشت در خود دستگاه انجام می‌شود لذا فاصله زمانی بین گرم شدن نمونه‌ها از دمای زیر صفر و سپس دمای محیط تا دمای برگشت (۲۰۰ درجه سانتیگراد)، ۲ دقیقه بود. کدگذاری نمونه‌ها در جدول ۲ و جدول ۳ شرح داده شده است.

فرایند انجام کار برای بررسی ریزساختاری، سختی، خواص کششی و چقمرمگی در شکل (۱) آورده شده است.

تحقیقاتی پر می‌شود.

مواد و روش تحقیق

مواد فولاد ابزار 1.2542 (معادل AISI S1) عمدتاً برای ساخت تیغه برش ورق‌های ضخیم و همچنین بعنوان پانچ قالب برش کاربرد دارد. محدوده دمای کاری آن، با دمای کاری فولادهای ابزار گرم کار و سردکار هم پوشانی دارد بنابراین جزو هر دو دسته محسوب می‌شود که اهمیت کاربردی این فولاد ابزار را دو چندان می‌کند. در حال حاضر فولاد ابزار 1.2542 در کشور تولید می‌شود. به همین دلایل از نظر کاربردی، تعیین شرایط بهینه برای بهبود خواص مکانیکی فولاد ابزار 1.2542 در شرایط اعمال نیروی ضربه اهمیت پیدا می‌کند. ترکیب شیمیایی، در جدول (۱) فهرست شده است.

جدول ۱ ترکیب شیمیایی فولاد ابزار 1.2542

عنصر	درصد وزنی	عنصر	درصد وزنی	عنصر	درصد وزنی
C	0.4800	Ni	0.1280	S	0.0250
Si	0.9950	V	0.0148	Cr	1.1200
Mo	0.0281	P	0.0567	Fe	Rest
Mn	0.3360	W	1.5700		

روش تحقیق. سه گروه تحقیقاتی مجزا [14، 13، 2] مجموعاً هشت متغیر برای عملیات زیر صفر عمیق معرفی کردنده که شامل زمانهای آستینیت و زیر صفر عمیق و

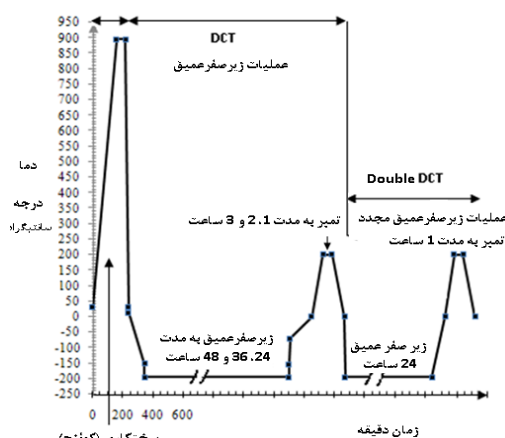
جدول ۲ معرفی کد نمونه‌ها با مراحل زیر صفر عمیق

کد نمونه	خطکاری	دما زیر صفر	زمان نگهداری ساعت	دما تبر	زمان برگشت ساعت	خطکاری نهایی
002	----	----	----		۲	
003	----	----	----		۳	
241					۱	
242			۲		۲	
243					۳	
361	-۱۵۰				۱	
362	درجه سانتیگراد	-۱۹۶			۲	
363	با سرعت				۳	
481	درجه سانتیگراد				۱	
482	با سرعت در دقیقه				۲	
483					۳	
531					۱	

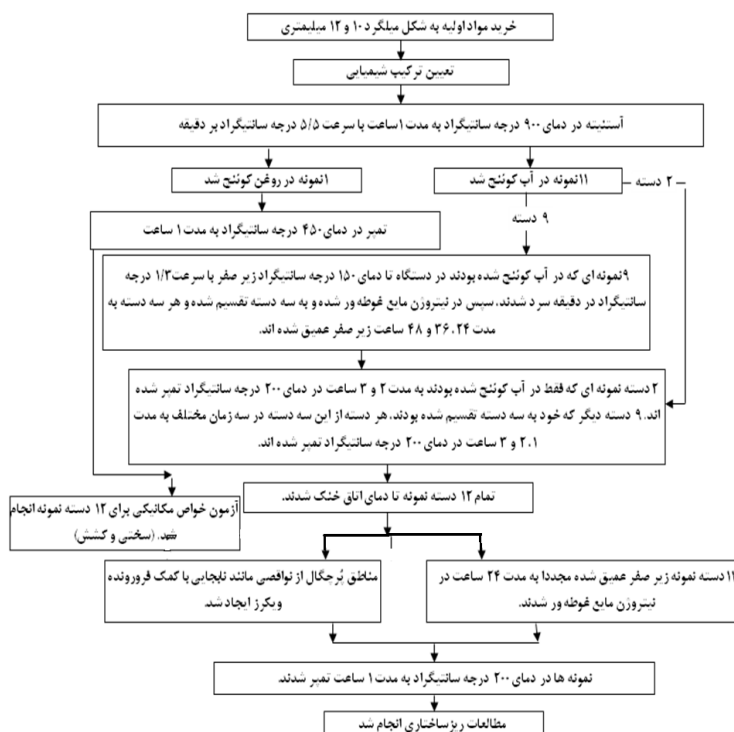
خطکاری
تا دمای اتاق سپس
عملیات زیر صفر
مجدد مطابق جدول
۳

جدول ۳ معرفی کد نمونه‌ها در عملیات زیر صفر مجدد

کد نمونه	خنک کاری	دماخنک کاری	زمان خنک کاری	دما برگشت	زمان برگشت	خنک کاری نهایی
002-241, 003-241, 241-241, 242-241, 243-241, 361-241, 362-241, 363-241, 481-241, 482-241, 483-241	غوطه‌وری مستقیم در نیتروژن مایع	-196	درجه سانتیگراد	۲۰۰ درجه سانتیگراد با سرعت ۵ درجه بر دقیقه	۲۴ ساعت ۱ ساعت	تا دمای اتاق



الف) سیکل عملیات زیر صفر عمیق



ب) فلوچارت برای مطالعه خواص مکانیکی و ریزاساختار

شکل ۱ روش مطالعه ریزاساختار، سختی، خواص کششی و چگونگی

فازی، حداقل از ۵ تصویر میکروسکوپ الکترونی روبشی با بزرگنمایی ۱۰۴ از یک منطقه، استفاده و میانگین داده‌ها در جدول (۵ و ۶) گزارش شده است.

میکرو سکوپ الکترونی عبوری روبشی، رو شی مطمئن تر و با کیفیت تر از روش میکروسکوپ الکترونی روبشی است. نمونه‌های میکرو سکوپ الکترونی عبوری روبشی بصورت دیسکهای ۳ میلیمتری با واپرکات تهیه و تا ضخامت ۱۰۰ نانومتر پولیش دستی شد. سپس با دستگاه سنگ زنی بصورت هلالی در آمد و در آخر، با بمباران یونی بهمراه خنک‌کننده با دستگاه Gatan PIPS سوراخ شد.

نتایج و بحث

سختی، استحکام کششی و چرمگی کششی نتایج آزمون کشش، سختی و ریزساختاری به ترتیب در جدول (۴، ۵ و ۶) فهرست شده است.

نمونه‌های تست کشش مطابق استاندارد BS EN 10002-1 به شکل دمبل با قطر (d) ۵ میلیمتر، طول مبتا اولیه (L) ۵۰ میلیمتر و طول کل (Lt) ۱۵ سانتیمتر تهیه [۱۶] و که در جدول ۴ ثبت شده است. آزمون کشش با نرخ کرنش ۰/۰۰۱۶۶- بر ثانیه انجام شد. تراشکاری نمونه‌ها با استفاده از دستگاه تراش CNC قبل از انجام عملیات زیر صفر عمیق انجام شد.

برای مطالعات ریزساختاری، نمونه‌ها استوانه‌ای شکل به قطر ۱۲ میلیمتر و طول ۱۵ میلیمتر بود. برای بخشی از مطالعه ریزساختاری از دستگاه تفرق اشعه ایکس Philips با هدف مس در ولتاژ ۴۰ کیلو ولت ($\lambda_{Cu, Ka}$) استفاده شد. برای تهیه تصاویر میکروسکوپ الکترونی روبشی از دستگاه TESCAN MIRA II همراه با آنالیزگر طیف تکیک انرژی استفاده شد. علاوه بر آن، از نرم افزار متالوگرافی OLYSIA m3 که برای 1536×2048 پیکسل کالیبره شده بود برای آنالیز فازی تصاویر استفاده شد. برای هر محاسبه

جدول ۴ نتایج آزمون کشش و محاسبه چرمگی کششی

کد نمونه	استحکام تسلیم (MPa)	استحکام کششی (MPa)	استحکام کششی (%)	از دیاد طول بعد از شکست (%)	سختی (RC)	چرمگی کششی (MJ/m^3) ± 0.65
استاندارد	1525 ± 50	1670 ± 65	8.2 ± 1.5	50 ± 1.0	91.3	
002	2006 ± 50	2229 ± 65	5.5 ± 1.5	56.5 ± 0.6	81.7	
003	1938 ± 50	2181 ± 65	6.5 ± 1.5	57.2 ± 0.7	94.5	
241	2007 ± 15	2279 ± 21	4.75 ± 0.75	56 ± 0.3	72.2	
242	2019 ± 23	2265 ± 31	2 ± 1.0	56 ± 0.5	30.2	
243	1869 ± 49	2137 ± 53	6 ± 1.5	57.9 ± 0.5	85.5	
361	1990 ± 50	2268 ± 65	7 ± 1.5	54.6 ± 0.5	105.9	
362	1945 ± 50	2201 ± 65	5 ± 1.5	56 ± 0.5	73.4	
363	2003 ± 50	2245 ± 65	5 ± 1.5	54.5 ± 0.5	74.8	
481	1972 ± 44	2244 ± 64	6.2 ± 0.3	56.3 ± 0.6	92.8	
482	1943 ± 50	2206 ± 65	7.5 ± 1.5	56 ± 0.4	110.3	
483	1996 ± 18	2249 ± 28	6.2 ± 0.8	55 ± 0.5	93.0	

جدول ۵ مقدار، اندازه و چگالی تعداد ذرات کاربید اولیه و ثانویه

کد نمونه	مقدار کاربید اولیه $\pm 50\% \text{ (V\%)}$	مقدار کاربید ثانویه $\pm 10\% \text{ (V\%)}$	اندازه کاربید اولیه (min to max) (μm)	اندازه کاربید ثانویه (min to max) (μm)	چگالی تعداد ذرات کاربید اولیه (mm^{-2}) $\pm 5\%$	چگالی تعداد ذرات کاربید ثانویه (mm^{-2}) $\pm 2\%$
استاندارد	0.10	1.90	0.6 (0.4to0.9)	0.17 (0.1to0.5)	20000	320000
002	0.42	1.80	0.61 (0.3to1.5)	0.35 (0.13to0.5)	64000	200000
003	0.40	1.88	0.65 (0.3to1.5)	0.4 (0.13to0.5)	63000	160000
241	0.42	2.18	0.52 (0.3to1)	0.22 (0.065to0.5)	62000	660000
242	0.47	2.42	0.55 (0.3to1)	0.24 (0.065to0.5)	65000	630000
243	0.37	3.73	0.70 (0.6to0.9)	0.25 (0.065to0.7)	60000	600000
361	0.57	4.69	0.65 (0.5to0.8)	0.30 (0.065to1)	64000	894000
362	0.60	6.92	0.71 (0.4to1.7)	0.32 (0.065to0.7)	63000	750000
363	0.34	8.91	0.72 (0.4to1.5)	0.33 (0.065to0.6)	62000	726000
481	0.35	10.04	0.72 (0.3to1.4)	0.44 (0.065to0.7)	65000	707000
482	0.25	12.66	0.71 (0.4to1.4)	0.45 (0.065to1)	62000	650000
483	0.24	12.87	0.73 (0.4to2)	0.46 (0.065to1)	65000	620000

جدول ۶ مقدار فاز کاربید ثالثیه

کد نمونه	مجموع مقدار کاربید ثانویه و ثالثیه $V\% \pm 5\%$	مقدار کاربید ثالثیه $V\% \pm 5\%$
002-241	2.8	1
003-241	2.8	0.92
241-241	3.1	0.92
242-241	3.2	0.78
243-241	4.4	0.67
361-241	5.3	0.61
362-241	7.4	0.48
363-241	9.3	0.39
481-241	10.3	0.26
482-241	12.9	0.24
483-241	13	0.13

عمیق یا برگشت، کاربید های ریز بسیار سخت در زمینه افزایش می یابد. از طرف دیگر، زمینه که از عناصر آلیاژی و کربن فقیر شده است به نسبت نرم تر می شود. تقابل تغییرات در این دو متغیر ریز ساختاری، موجب ثابت ماندن استحکام کششی و تسلیم می شود. در حالیکه نمونه استاندارد، نسبت به نمونه های زیر صفر، ۳۲ تا ۳۶ درصد استحکام کششی کمتر و ۹ تا ۱۲ درصد سختی کمتری

نتایج آزمون کشش و چرمگی کششی نمونه ها مطابق معادله ۱ [۱۷] محاسبه و در جدول (۴) فهرست شده است. UTS، استحکام کششی و e_f ، کرنش شکست است. Toughness or $U_T = 2/3 \times UTS \times e_f$ (۱) در جدول ۴، برای تمام نمونه های زیر صفر عمیق، استحکام کششی و تسلیم تغییری نکرده و تقریباً ثابت بود. زیرا مطابق جدول (۵ و ۶)، با افزایش زمان زیر صفر

امهای کربن قابل توجه نیست. لازم به ذکر است اگرچه سرعت نفوذ اتمهای کربن در دمای برگشت ۲۰۰ درجه سانتیگراد، کم است اما فاصله نفوذ نیز بسیار کوتاه است و لذا مطابق جدول(۵ و ۶)، نانو ذرات کاربید ثانویه پدید می آید.

در جدول (۴)، برای دستیابی به سختی بیشتر با افزایش زمان زیر صفر عمیق، زمان لازم برای برگشت نمونه ها کاهش پیدا می کند. بطور مثال برای دستیابی به سختی بیشتر نمونه هایی که ۲۴ ساعت زیر صفر عمیق می شوند ۳ ساعت زمان برای عملیات برگشت لازم است در حالیکه برای دستیابی به سختی بیشتر نمونه هایی که ۳۶ ساعت زیر صفر عمیق می شوند ۲ ساعت زمان برای عملیات برگشت لازم است و برای دستیابی به سختی بیشتر نمونه هایی که ۴۸ ساعت زیر صفر عمیق می شوند ۱ ساعت زمان برای عملیات برگشت لازم است. زیرا با افزایش زمان زیر صفر عمیق تعداد اتمهای کربنی که منجر به آرایش نابجایی شدن افزایش می یابد و لذا مدت زمان لازم برای برگشت کاهش می یابد. بنابراین برای دستیابی به سختی بیشتر به منظور افزایش سرعت تولید و یا کاهش زمان تولید هر محصول بهتر است زمان برگشت زیاد شود تا زمان لازم برای تولید کاهش یابد.

در مرجع [10] برای فولاد ابزار DIN 1.2379 چقرمگی شکست نمونه های زیر صفر عمیق نسبت به نمونه با عملیات متداول حدود ۷ درصد کاهش می یابد. در حالیکه در تحقیق حاضر، در جدول ۴ یا معادله ۱ برای نمونه های ۳۶۱ و ۴۸۲ تا ۳۵ درصد افزایش چقرمگی کششی مشاهده می شود. دلیل این تفاوت بر دو دلیل استوار است. اولاً فولاد ابزار DIN 1.2379 یک فولاد ابزار پر آلیاژ و پر کربن است. در حالیکه فولاد مورد تحقیق کم آلیاژ و متوسط کربن است. این تفاوت منجر به تفاوت زیادی در ریزساختار این دو آلیاژ یعنی مقدار و اندازه ذرات کاربید و آستنیت باقیمانده می شود. مقدار و اندازه ذرات کاربید ثانویه در نهایت روی سطح موثر آنها اثر می گذارد. ثانياً آنها [10] چقرمگی شکست را مطالعه

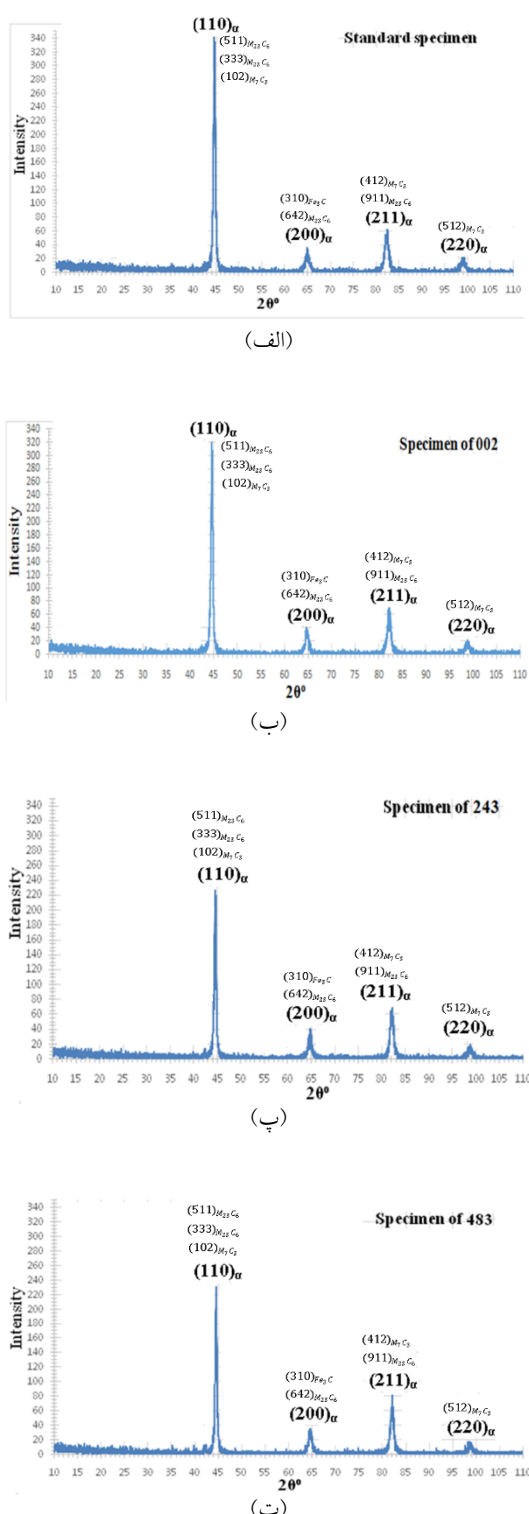
دارد. زیرا نمونه استاندارد در روغن کوئنچ شده در حالیکه نمونه های زیر صفر در آب کوئنچ شده اند.

در جدول ۴، سختی نمونه ۲۴۲ در مقایسه با نمونه استاندارد، ۱۲ درصد افزایش یافته است. زیرا نمونه ۲۴۲ در آب کوئنچ شده است در حالیکه نمونه استاندارد در روغن کوئنچ شد بنابراین سختی بیشتری دارد. همچنین نمونه ۲۴۲ نسبت به نمونه های ۰۰۲ و ۰۰۳ تقریباً سختی یکسانی دارند چون هر دو در آب کوئنچ شدند.

مشابه نمونه ۲۴۳ در این تحقیق، استحکام نمونه های DIN 1.6587 در مقایسه با نمونه استانداردش تغییری نکرد و از دیاد طول نمونه های زیر صفر کمتر از ۱ درصد است و سختی این نمونه ها ۲/۴ درصد افزایش نشان می دهد [5]. آنها فقط دو دسته نمونه داشتند که به مدت ۱ و ۲ ساعت در دمای زیر صفر عمیق، ۱۹۶- درجه سانتیگراد، قرار داده شد و سپس به مدت ۲ ساعت در دمای ۱۸۰ درجه سانتیگراد برگشت شد.

در جدول ۴، نمونه های کوئنچ شده در آب نسبت به نمونه استاندارد حدود ۱۰ درصد سختی بیشتری دارند. مطابق همان جدول، نمونه ۲۴۳ بیشترین سختی و نمونه ۳۶۳ کمترین سختی را بخود اختصاص داد.

بر اساس جدول ۴، مشخص می شود با کاهش زمان عملیات زیر صفر عمیق، مدت زمان برگشت نمونه ها برای دستیابی به سختی بیشتر، افزایش می یابد. بطور مثال برای دستیابی به سختی بیشتر نمونه هایی که ۱ ساعت برگشت می شوند ۴۸ ساعت برای عملیات زیر صفر عمیق لازم است در حالیکه برای دستیابی به سختی بیشتر نمونه هایی که ۲ ساعت برگشت می شوند تقریباً ۲۴ ساعت برای عملیات زیر صفر عمیق لازم است و بیشتر از آن فایده ای ندارد. یعنی برای دستیابی به سختی بیشتر با افزایش زمان برگشت، زمان زیر صفر عمیق کمتری لازم است. زیرا در دمای برگشت بدلیل پدیده نفوذ اتمهای کربن در کسری از فاصله اتمی به سمت نابجایی، کاربیدهای ثانویه ریز بیشتری تشکیل می شود. شاید بنظر برسد در دمای برگشت پایین مثلاً ۲۰۰ درجه سانتیگراد، سرعت نفوذ



شکل ۲ تفرقه اشعه مس کا آلغا برای نمونه‌های (الف) استاندارد (ب) ۰۰۲ (ب_۱) ۲۴۳ (ت) ۴۸۳

کردن در حالیکه در این تحقیق مدل چقرمگی (چقرمگی کششی) مطابق معادله ۱ مطالعه شده است.

یافته‌های سه محقق [۶-۸] در تطابق با یافته این تحقیق برای شرایط عملیاتی نمونه‌های ۳۶۱ و ۴۸۲ است. زیرا نمونه‌های ۳۶۱ و ۴۸۲ مطابق معادله ۱، نسبت به نمونه استاندارد و نمونه‌های ۰۰۲ و ۰۰۳ و ۱۲۰ تا ۳۵ درصد چقرمگی کششی بیشتری دارند.

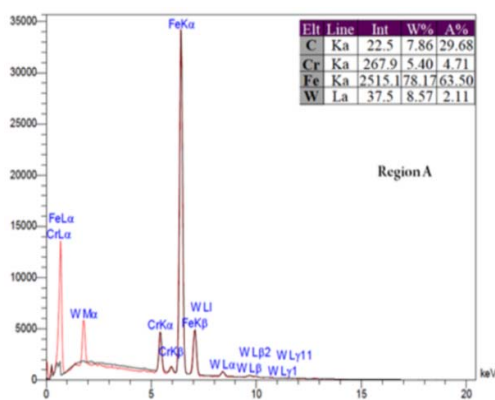
برای دستیابی به چقرمگی کششی بیشتر با افزایش زمان زیر صفر عمیق، زمان برگشت نیز افزایش یافت. به عبارت دیگر، با ۳۶ ساعت زیر صفر عمیق به ۱ ساعت برگشت نیاز بود تا چقرمگی کششی افزایش یابد و همچنین با ۴۸ ساعت زیر صفر عمیق به ۲ ساعت برگشت نیاز بود. زیرا تنש‌های باقیمانده بعد از عملیات زیر صفر عمیق نسبت به عملیات مرسوم، بیشتر کاهش می‌یابد. به عبارت دیگر زمان زیر صفر عمیق بیشتر، نابجایی بیشتری تولید می‌کند و نابجایی بیشتر، مطابق جدول (۵) و نیازمند زمان بیشتر برای تولید نانو ذرات کاربید ثانویه هستند.

ریزساختار. دمای شروع تشکیل مارتنتزیت $274/6$ درجه سانتیگراد و دمای پایان آن $59/6$ درجه سانتیگراد است. زیرا با توجه به نوع و مقدار عناصر آلیاژی فولاد مورد تحقیق دمای شروع و پایان استحاله مارتنتزیتی از معادله ۲ و ۳ (Payson and Savage) بدست می‌آید [۱۸].

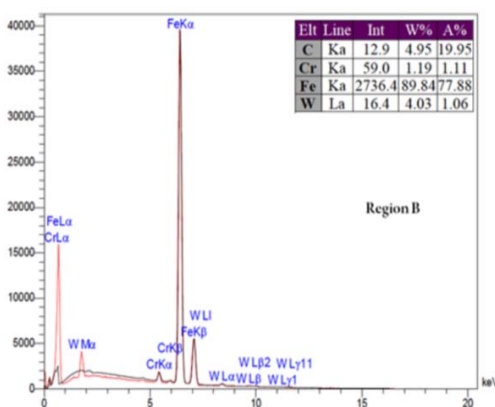
$$M_s(^{\circ}\text{C}) = 498.9 - (316.7 \times C\%) - (33.3 \times Mn\%) - (27.8 \times Cr\%) - (16.7 \times Ni\%) - 11.1 \times (Si + Mo + W) \quad (2)$$

$$M_f(^{\circ}\text{C}) = M_s(^{\circ}\text{C}) - 215 \quad (3)$$

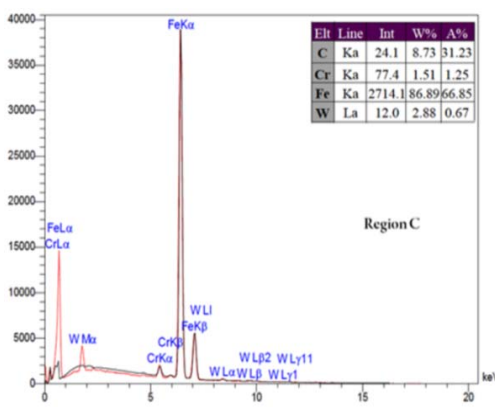
بنابراین در دمای $196 - 274/6$ درجه سانتیگراد بایستی آستانیت باقیمانده کاملاً به مارتنتزیت تبدیل شود. در شکل (۲) با استفاده از دستگاه تفرقه اشعه ایکس Philips هدف مس در ولتاژ 40 کیلو ولت (λ_{Cu}, K_α) از نمونه‌های استاندارد، ۰۰۲، ۰۰۳ و ۲۴۳ و ۴۸۳ مشاهده شد که در هیچ یک از نمونه‌ها، آستانیت باقیمانده وجود ندارد.



ب) نمودار طیف تفکیک انرژی از منطقه A



پ) نمودار طیف تفکیک انرژی از منطقه B



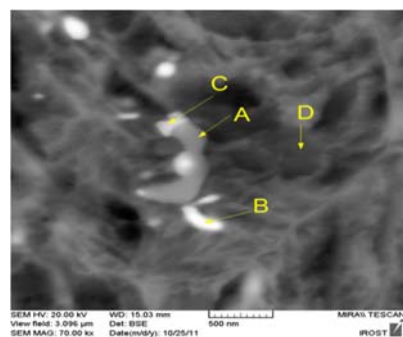
ت) نمودار طیف تفکیک انرژی از منطقه C

شکل ۳ تصویر میکروسکوپ الکترونی رویشی از فازهای مختلف

عدد اتمی هر ذره از مجموع حاصلضرب درصد اتمی عنصر تشکیل دهنده ذره (شکلهای ۳ ب و پ و ت) در عدد اتمی آن عنصر [19] بصورت یک به یک بدست می آید. به این ترتیب، در شکل(۳-الف)، ذرات

تشکیل کاربیدهایی با ترکیب شیمیایی M_7C_3 و $M_{23}C_6$ در طی عملیات زیر صفر عمیق توسط محققین زیادی گزارش شده است [6-10] اما هیچگاه بروش طیف سنجی نفکیک انرژی مورد مطالعه قرار نگرفته است. شکل(۳ - الف) در تصویر میکروسکوپ الکترونی رویشی کاربیدهای روشن و تیره با حروف انگلیسی A,B,C و زمینه با حرف انگلیسی D مشخص شده اند. شکل های (۳ ب و ۳ پ و ۳ ت) نمودار طیف تفکیک انرژی این کاربیدها به ترتیب مشخص می شود.

کاربیدهای اولیه نسبت به کاربیدهای ثانویه کربن بیشتری دارند زیرا وقتی کاربید اولیه تشکیل می شود زمینه غنی از کربن است. وقتی کاربید اولیه تشکیل شد مقداری از کربن زمینه را مصرف می کند لذا برای کاربید ثانویه، کربن کمتری باقی می ماند. بنابراین منطقه B که کربن کمتری دارد کاربید ثانویه با ترکیب شیمیایی $M_{23}C_6$ زیرا مقدار کربن در این ترکیب از نظر تئوری برابر است با $\frac{20}{69} \times 100 = 20.69\text{ A\%}$ (6/(23+6)) که با نتیجه ارایه شده از طیف تفکیک انرژی این منطقه در شکل(۳ - پ) یعنی $19/95$ درصد اتمی مطابقت دارد. از طرف دیگر مناطق A,C که کربن بیشتری دارد کاربید اولیه با ترکیب شیمیایی M_7C_3 است زیرا مقدار کربن در این ترکیب از نظر تئوری برابر است با $30/3(3+7) \times 100 = 30\text{ A\%}$ (3/(3+7)) که با نتیجه ارایه شده از طیف تفکیک انرژی این منطقه در شکل های (۳ ب و ۳ ت) یعنی $29/88$ و $31/23$ درصد اتمی نزدیک است.

الف) تصویر میکروسکوپ الکترونی رویشی $70000\times$

(=۰۰۸۵۴/۰۳۵۷۱). لذا پراکندگی اتمهای تنگستن نسبت به کروم ۲/۵۲ برابر و نسبت به سیلیسیم ۴/۱۸ برابر است.

در جدول (۵)، میانگین مقدار کاربید اولیه برای نمونه های زیر صفر شده ثابت و برابر با ۴۰/۲ درصد حجمی است (زیرا برای یک آلیاژ مشخص، فقط شرایط آستینیه کردن در تشکیل کاربید اولیه دخیل است که در این تحقیق شرایط آستینیه کردن ثابت در نظر گرفته شد) در حالیکه با افزایش زمان زیر صفر عمیق یا زمان برگشت، مقدار کاربید ثانویه از ۱/۹ تا ۱۲/۸۷ درصد حجمی دائم را به افزایش است.

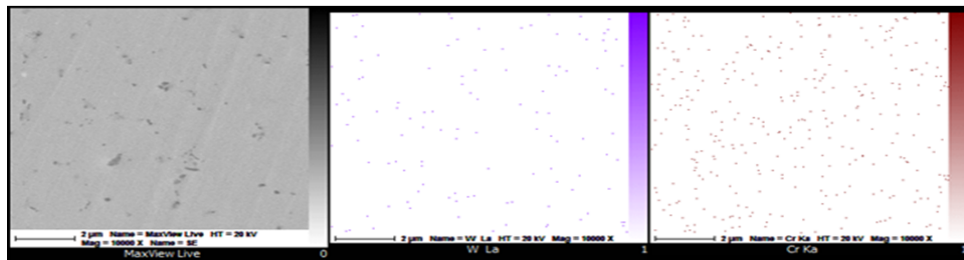
در جدول (۵)، افزایش مقدار کاربید ثانویه با تغییر زمان زیر صفر عمیق (میانگین ۵۰۰ درصد) نسبت به تغییر زمان برگشت (میانگین ۵۰ درصد)، سرعت بسیار بیشتری دارد. زیرا عامل اصلی تشکیل کاربید ثانویه، افزایش چگالی تعداد نابجایی است که بهنگام قرارگیری در دمای زیر صفر عمیق رخ می دهد [۳-۲۰]. از طرف دیگر، مقدار کاربید ثانویه در نمونه های ۰۰۲ و ۰۰۳ تقریباً ثابت است زیرا بدون انجام عملیات زیر صفر عمیق شرایط برای تشکیل کاربید ثانویه مهیا نمی شود.

به منظور صحه گذاری فرضیه دوم مکانیزم رسوب گذاری کاربید ثانویه، نمونه هایی که پس از زیر صفر شدن، آستینیت باقیمانده در آنها حذف شد اما حاوی ذرات کاربید اولیه (M_7C_3) و ثانویه ($M_{23}C_6$) بودند در دمای ۱۹۶- درجه سانتیگراد به مدت ۲۴ ساعت مجدداً زیر صفر شده و سپس در دمای ۲۰۰ درجه سانتیگراد به مدت ۱ ساعت برگشت شده اند.

غنى از عناصر با عدد اتمي بيشتر، روشن تر هستند زير اذرات روشن يعني ناحيه B، داراي عدد اتمي تقربياً 100 / 74 (19.95×6+1.11×24+77.88×26+1.06×74)=22.5 بيشتر حاوی تنگستن و آهن و كمتر حاوی کروم و كربن است. ذرات غنى از عناصر با عدد اتمي كمتر، تيره تر هستند زيرا ذرات تيره تر يعني نواحي A,C، به ترتيب داراي عدد اتمي تقربياً 21 (29.68×6+4.71×24+63.50×26+2.11×74)/100=20 (31.23×24+66.85×26+0.67×74)/100=20 بيشتر حاوی کروم و كربن و كمتر حاوی آهن و تنگستن است.

در شكل (۴) تصوير ميكروسكوب الكترونی روبيشي از نقشه پراکندگی اتمهای کروم، تنگستن و سیلیسیم در يك ناحيه به نمايش گذاشته شده است که مويدتوزيع يکنواخت کاربیدها است.

تعداد مول يك عنصر از تقسيم مقدار عنصر (بر حسب گرم) بر جرم ملکولي عنصر [۱۹] (بر حسب گرم بر مول) بدست مي آيد. لذا در ۱۰۰ گرم از آلیاژ مورد تحقیق مطابق جدول (۱)، ۰/۰۰۸۵۴ مول اتم تنگستن، ۰/۰۳۵۷۱ مول اتم سیلیسیم و ۰/۰۲۱۵۴ مول اتم کروم وجود دارد. در يك مساحت مشخص، تعداد اتمها با فاصله آنها از هميگر رابطه عکس دارد. به عبارت دیگر، فاصله اتمهای تنگستن نسبت به کروم برابر است با نسبت ۲/۵۲ تعداد اتمهای کروم به تعداد اتمهای تنگستن يعني ۰/۰۰۸۵۴ (=۰/۰۲۱۵۴). همچنين، فاصله اتمهای تنگستن نسبت به سیلیسیم برابر است با نسبت تعداد اتمهای سیلیسیم به تعداد اتمهای تنگستن يعني ۴/۱۸



شکل ۴ تصویر ميكروسكوب الكترونی روبيشي از نقشه پراکندگی اتمهای کروم و تنگستن در نمونه ۲۴۱

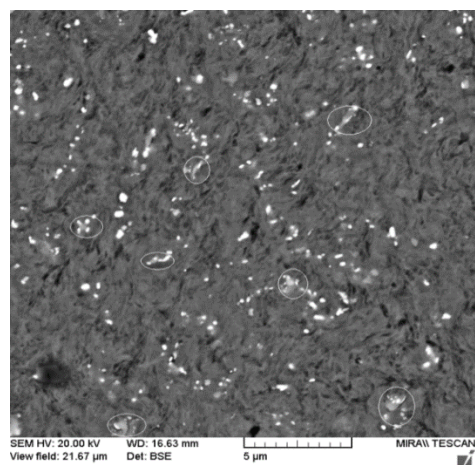
کاربیدهای ثالثیه با همان ترکیب کاربید ثانویه تشكیل شده و در جدول‌های (۵ و ۶)، مقدار آن از تفاضل مقدار کاربید ثانویه قبل و بعد از عملیات زیر صفر مجدد بدست می‌آید. با افزایش زمان زیر صفر، مقدار کاربید ثانویه بیشتر می‌شود. لذا زمینه از عناصر آلیاژی و کربن، فقیرتر می‌شود. بنابراین در عملیات زیر صفر مجدد، تشكیل کاربید ثالثیه م شکلتر می‌شود. این مطلب به وضوح در جدول ۵ و جدول ۶ به نمایش گذاشته شده است. یعنی قبل و بعد از عملیات زیر صفر مجدد با افزایش زمان زیر صفر، مقدار کاربید ثالثیه کاهش می‌یابد.

در جدول (۵)، چگالی تعداد ذرات کاربید اولیه و ثانویه ترسیم شده است. چگالی تعداد ذرات کاربید اولیه تقریباً ثابت و میانگین آن برابر با $64000 \text{ } \mu\text{m}^{-2}$ ذره در هر میلیمتر مربع است. این مطلب بویژه در مورد نمونه‌هایی که ۳۶ و ۴۸ ساعت زیر صفر عمیق شده اند صدق می‌کند.

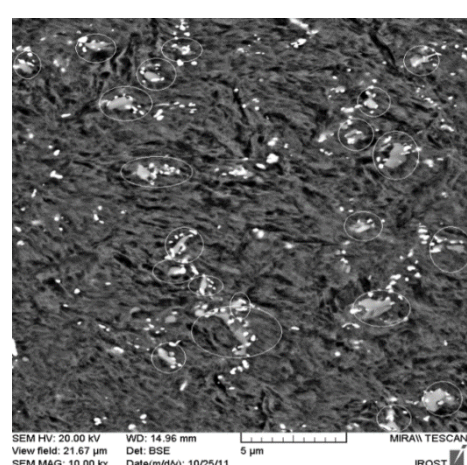
در جدول (۵)، چگالی تعداد ذرات کاربید ثانویه با ۳۶ ساعت زیر صفر عمیق به حداقل می‌رسد. بعلاوه، با ۱ ساعت برگشت بیشترین چگالی تعداد ذرات کاربید ثانویه حاصل شد. توجیه علمی این مطلب بر اساس دو مکانیزم ارایه شده، بصورت زیر است.

برای مکانیزم اول [۲۰-۲۲، ۳]، وقتی زمان برگشت ثابت است با افزایش زمان زیر صفر عمیق، حجم مارتنتزیت کاهش پیدا می‌کند و شبکه آن منقبض می‌شود بهمین دلیل کربن خارج شده و در کنار نزدیکترین نابجایی آرایش می‌یابد. با افزایش زمان زیر صفر عمیق، منطقه آرایش یافته گسترش می‌یابد با هم تلاقی می‌نماید و لذا ذرات کاربید ثانویه بزرگتر می‌شوند. برای مکانیزم دوم، با افزایش زمان زیر صفر عمیق، بدلیل اختلاف در انقباض فازها، چگالی تعداد نابجایی افزایش می‌یابد. با افزایش چگالی تعداد نابجایی، منطقه‌ای که در آن چگالی تعداد نابجایی زیاد شده است گسترش یافته و ذرات بزرگتر می‌شوند. تا زمانیکه این مناطق در حال گسترش با هم برخورد نکنند مقدار ذرات کاربید ثانویه و چگالی

در شکل (۵) تصویر میکروسکوپ الکترونی رویشی با اشعه الکترون برگشتی نمونه‌ها نمایش داده شده است. در نمونه‌ها مقدار زیادی ذرات کاربید ثالثیه (Tertiary Carbide) با ترکیب $M_{23}C_6$ (ذرات سفید) در اطراف ذرات کاربید اولیه (ذرات کدر) و شاید کاربید ثانویه قبلی، تشکیل شد. با تلفیق این مطلب و با توجه به این نکته که مقدار ذرات کاربید $M_{23}C_6$ با عملیات زیر صفر مجدد، افزایش یافته است (جدول ۵ و جدول ۶) فرضیه دوم مکانیزم رسوبگذاری کاربید ثانویه صحنه‌گذاری می‌شود.



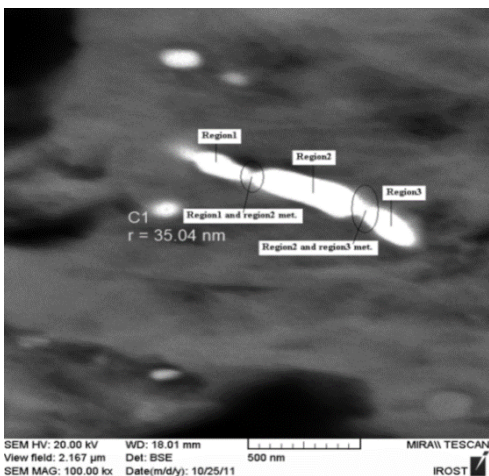
الف) نمونه ۲۴۱-۲۴۱



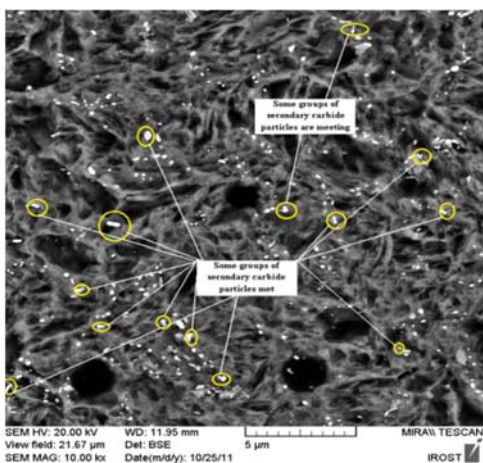
ب) نمونه ۲۴۲-۲۴۲

شکل ۵ نمایش کاربیدهای اولیه (خاکستری) و کاربیدهای ثانویه و ثالثیه (سفید رنگ) در اطراف آن

نسبتاً سرعت رشد کمتری دارند.



الف) نمونه ۵۳۱، سه ذره تلاقی کرده‌اند



ب) نمونه ۴۸۳، ذرات تلاقی می‌کنند

شکل ۶ نمایش تداخل مناطق گسترش یافته

با مقایسه مشخصات ذرات کاربید ثانویه در نمونه ۳۶۱ با نمونه‌های زیرصفرنشده (مانند ۰۰۲ یا ۰۰۳) استاندارد در می‌یابیم که مقدار ذرات کاربید ثانویه در نمونه ۳۶۱ حداقل ۱۲۵ درصد و چگالی تعداد این ذرات حداقل ۳۵۰ درصد افزایش یافت با توجه به کاهش حداقل ۳۰ درصدی میانگین اندازه ذرات، با قاطعیت نتیجه گرفته می‌شود که عملیات زیرصفر عمیق، کاربیدهای ثانویه را هموژن‌تر نموده است.

در جدول (۵)، اندازه ذرات کاربید اولیه در تمام ۱۲ دسته نمونه تقریباً ثابت است. از طرف دیگر، در جدول ۵، چگالی تعداد ذرات کاربید اولیه در نمونه استاندارد،

تعداد آنها و اندازه آنها زیاد می‌شود (این حالت تا ۳۶ ساعت زیرصفر عمیق وجود دارد) اما پس از برخورد (شکل ۶)، مقدار و اندازه ذرات کاربید ثانویه زیاد شده اما از چگالی تعداد آنها کاسته می‌گردد (این حالت در ۴۸ ساعت زیرصفر رخ می‌دهد).

شکل ۶ الف نمونه ۵۳۱ را که ۵۳ ساعت زیرصفر و ۱ ساعت برگشت شده را نشان می‌دهد. مشاهده می‌شود که حداقل ۳ ذره با هم تلاقی کرده‌اند. شکل (۶) ب نمونه ۴۸۳ را نشان می‌دهد. در این شکل تعدادی از ذرات کاربید ثانویه با هم تلاقی کرده‌اند و در برخی مکان‌ها در حال تلاقی هستند. لذا چگالی تعداد ذرات آنها کاهش یافت. در جدول (۵)، با افزایش زمان زیرصفر عمیق، اندازه ذرات کاربید ثانویه نسبتاً بیشتر (میانگین ۹۰ درصد) افزایش می‌یابد. زیرا عامل اصلی تشکیل کاربید، افزایش چگالی تعداد نابجایی است که بهنگام قرارگیری در دمای زیرصفر عمیق رخ می‌دهد درحالیکه در زمان برگشت، سرعت نفوذ بسیار کم می‌باشد زیرا دمای برگشت پایین است. علاوه بر آن، مناطق اطراف کاربید اولیه نسبتاً فقیر از عناصر آلیاژی و کربن هستند زیرا ذرات کاربید اولیه نسبتاً کربن زیاد دارند و به نسبت از ذرات کاربید ثانویه بزرگ‌تر هستند. در جدول ۵، با افزایش زمان برگشت، اندازه ذرات کاربید ثانویه بطور جزئی (۱۰ درصد) افزایش می‌یابد. وقتی تعداد ذرات کاربید ثانویه در واحد حجم خیلی زیاد شد فاصله ذرات از هم کم می‌شود به این ترتیب پیوستن ذرات کاربید ثانویه بر اثر نفوذ ممکن می‌شود که در نتیجه چگالی تعداد ذرات کاربید ثانویه مقداری کمتر می‌شود و اندازه ذرات کاربید ثانویه مقدار ناچیزی بزرگ‌تر می‌شود. یافته فوق در جدول (۵) با استفاده از رابطه (۴)، نیز قابل پیش‌بینی است [23].

$$(4) \quad dr/dt \propto k/r^2$$

بطوریکه t شعاع ذرات، k عددی ثابت (برای ذره مشخص و در دمای ثابت) و t زمان است. بنابراین نانوذرات بسیار ریز کاربید ثانویه، در ابتدا بسیار سریع رشد می‌کنند و ذرات زیرمیکرون نسبتاً بزرگ‌تر کاربید ثانویه،

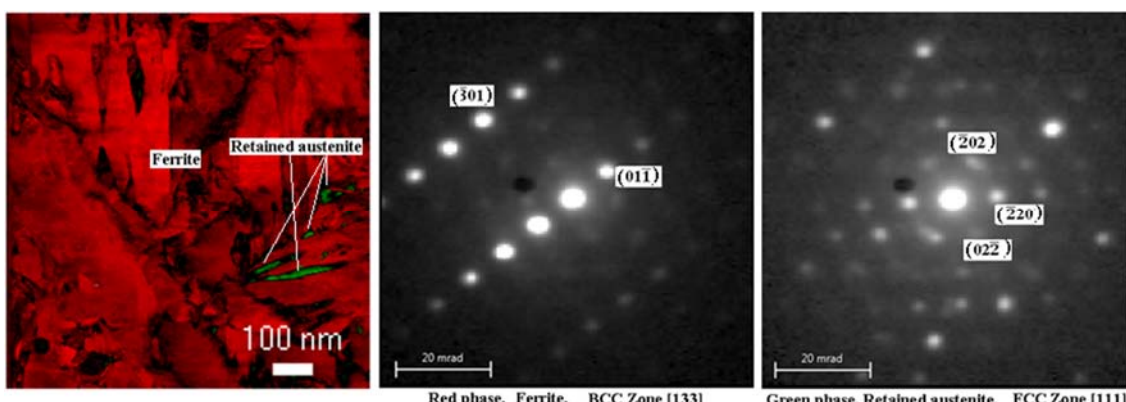
آستینیت $\approx 2000\text{nm}^2 = 0.2\text{V}\%$ باقیمانده به رنگ سبز به شکل تیغه ای به طول حداقل ۱۳۰ نانومتر و به ضخامت حداقل ۱۰ نانومتر یافت شد. مطابق شکل (۷-ب)، هسته ۵۰ نانویی ذره کاربید آهن کروی شکل و در شکل (۷-پ)، ذرات زیرمیکرونی کاربید با ترکیب M_7C_3 تقریباً به شکل کروی می‌باشد. در شکل (۷-ت)، نقشه پراکندگی فازها با کمک میکروسکوپ الکترونی عبوری روبشی در سطحی به اندازه تقریبی ۸۰۰۰۰ نانومتر مربع آورده شده است. در این نقشه، کاربیدهای $M_{23}C_6$, M_7C_3 , Cr_3C_2 , Fe_3C و M_6C (با فلش کج) شناسایی شده است. بعلاوه، آستینیت باقیمانده (با فلش توخالی) و زمینه نیز به نمایش گذاشته شده است. به این ترتیب کاربیدهایی که در میکروسکوپ الکترونی روبشی شناسایی نشد (کاربیدهای Cr_3C_2 , Fe_3C و M_6C) در میکروسکوپ الکترونی عبوری روبشی شناسایی شد.

در شکل (۷-ت) حضور کاربیدهای ثانویه ($M_{23}C_6$) و سمتیت (Fe_3C) در اطراف کاربیدهای اولیه (M_7C_3) با کمک فلش مستقیم (→) به وضوح نشان داده می‌شود. بنابراین، این تصویر، درستی فرضیه مکانیزم دوم رسوب‌گذاری کاربید ثانویه را تقویت می‌کند.

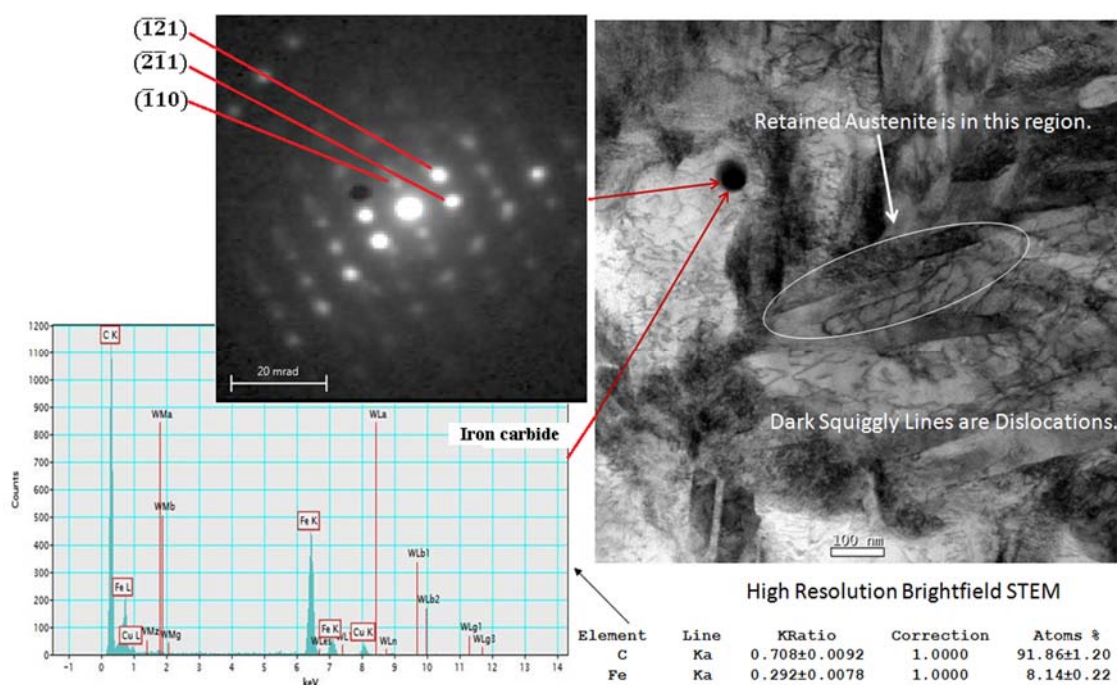
تقریباً نصف آن در سایر نمونه‌ها است. بنابراین مقدار آن در نمونه استاندارد باید نصف مقدار آن در سایر نمونه‌ها باشد. این مطلب در جدول (۵) (به مقدار ۰/۱۰ درصد حجمی) صحه‌گذاری می‌شود.

در جدول (۵)، اندازه ذرات کاربید ثانویه در نمونه استاندارد کوچکتر از (تقریباً نصف) نمونه‌های ۰۰۲ و ۰۰۳ است. در جدول (۵)، چگالی تعداد ذرات کاربید ثانویه در نمونه استاندارد، بیشتر از (تقریباً دو برابر) نمونه‌های ۰۰۲ و ۰۰۳ و کمتر از نمونه‌های زیرصفر شده است. بهمین دلیل می‌توان پیش‌بینی کرد که مقدار این ذرات در نمونه استاندارد و نمونه‌های ۰۰۲ و ۰۰۳ تقریباً یکسان باشد. این مطلب در جدول (۵) (به مقدار ۱/۹ درصد حجمی) صحه‌گذاری می‌شود.

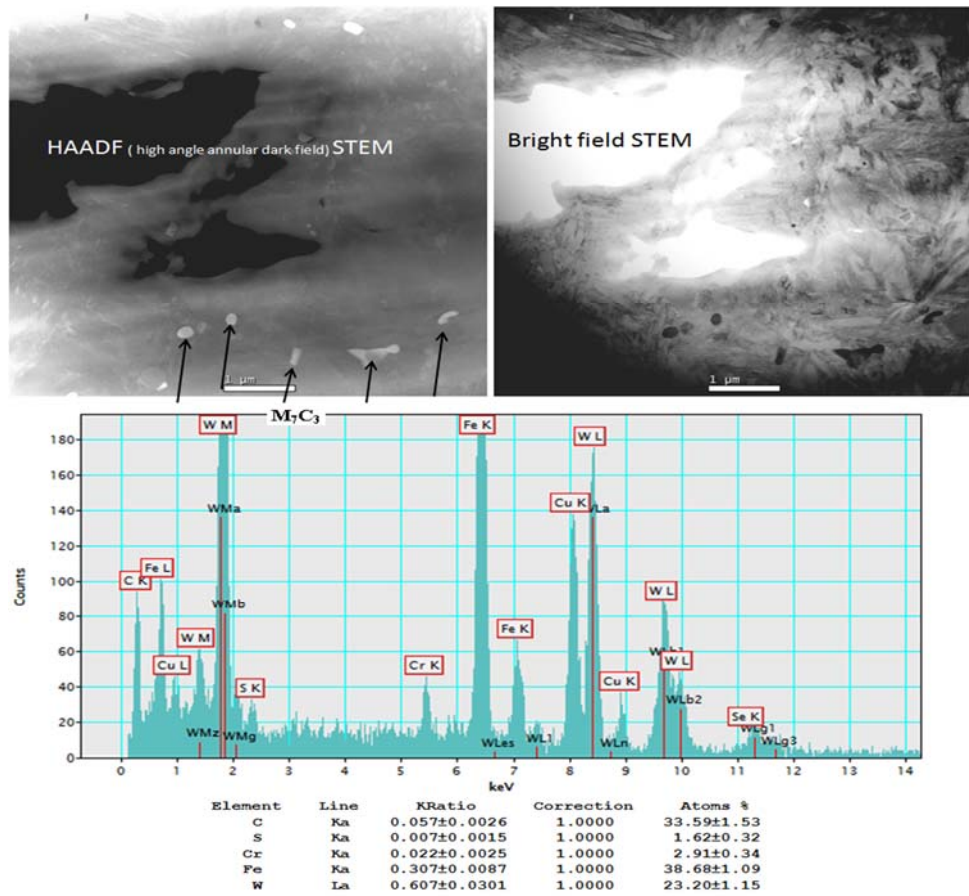
در این تحقیق با استفاده از میکروسکوپ الکترونی عبوری در دانشگاه ایالت آریزونای آمریکا JEOL ARM Atomic Resolution Microscope ولتاژ ۲۰۰ کیلوولت با نرم افزار "Topspin" از AppFive نمونه ۴۸۳ تحلیل تفرق دقیق انجام شد. برای نمونه ۴۸۳ در شکل (۷-الف)، با مطالعات دقیقتری که توسط میکروسکوپ الکترونی عبوری روبشی با اسکن حداقل ۱۰۰۰ دانه و حدود ۹۷۰۰۰ تفرق اشعه الکترونی انجام شد مقادیر ناچیزی (کمتر از ۰/۲ درصد حجمی) یعنی

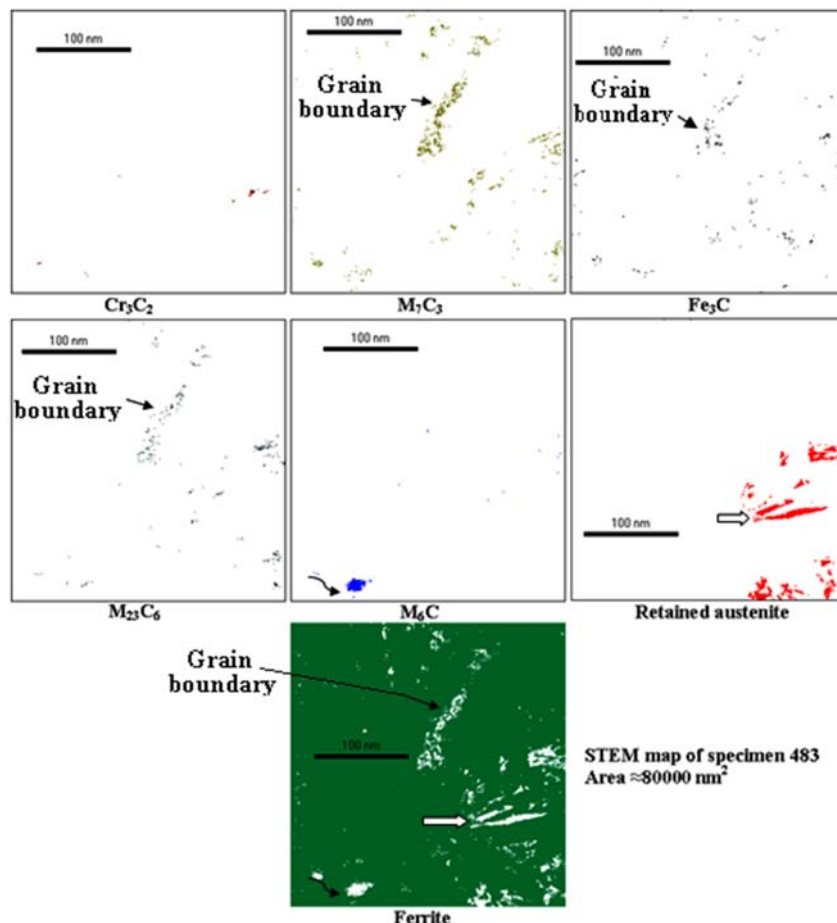


الف) آستینیت باقیمانده؛ زمینه فریت



ب) نایجایی‌ها؛ نانو ذره کاربید آهن کروی

ب) ذرات زیرمیکرون کاربید M₇C₃ تقریباً کروی



ت) نقشه پراکندگی میکروسکوپ الکترونی عبوری رویشی فازها شامل کاربیدهای M_6C , Cr_3C_2 , Fe_3C , $M_{23}C_6$, M_7C_3 و آستانت باقیمانده در زمینه فریت

شکل ۷ تصویر میکروسکوپ الکترونی عبوری رویشی از نمونه ۴۸۳

- ۳ در این تحقیق، شرط لازم برای افزایش چقرمگی کششی این نوع مواد، دو عامل ریزساختاری، مقدار و چگالی تعداد ذرات کاربید ثانویه شناخته شده است.
- ۴ برای دستیابی به چقرمگی کششی بیشتر با رعایت ملاحظات برای سرعت تولید بیشتر، نمونه ۳۶۱ یعنی ۳۶ ساعت زیر صفر عمیق و ۱ ساعت برگشت در دمای ۲۰۰ درجه سانتیگراد مناسبتر است.
- ۵ برای دستیابی به سختی بیشتر با رعایت ملاحظات برای سرعت تولید بیشتر، نمونه ۲۴۳ یعنی ۲۴ ساعت زیر صفر عمیق و ۳ ساعت برگشت در دمای ۲۰۰ درجه سانتیگراد مناسب تر است.
- ۶ اگرچه مطالعات تفرق اشعه ایکس بر عدم وجود

نتیجه‌گیری

در این تحقیق از ۱۲ دسته نمونه فولاد ابزار ۱,۲۵۴۲ برای بهینه سازی خواص مکانیکی و تعیین ارتباط آن با ریزساختار در عملیات زیر صفر عمیق استفاده شد.

۱- با استفاده از عملیات زیر صفر عمیق، استحکام ۳۲ تا ۳۶ درصد، سختی ۹ تا ۱۲ درصد و چقرمگی کششی ۱۲ تا ۳۵ درصد نسبت به نمونه‌های زیر صفر نشده بطور همزمان افزایش داشت.

۲- نتایج نشان می‌دهد برای فولاد ابزار مورد تحقیق، عملیات زیر صفر مجدد برای تشکیل کاربید ثانویه در نمونه‌هایی که بیش از ۲۴ ساعت زیر صفر شده‌اند بی تاثیر است.

حاصله، منجر به تولید حلقه نابجایی در اطراف کاربید اولیه می‌گردد. با گذشت زمان در عملیات زیر صفر عمیق، حلقه نابجایی بزرگتر شده و اتمهای کربن و اتمهای عناصر آلیاژی بیشتری را در بر می‌گیرد (سرش يا خرزش نابجایی). به هنگام برگشت، اتمهای کربن برای آراستن نابجایی‌ها به اندازه کسری از فاصله اتمی به ویژه از طریق مرزدانه‌ها، جابجا می‌شود. به این ترتیب شرایط برای تشکیل کاربید ثانویه تسهیل می‌شود. بنابراین، مقدار زیادی کاربید ثانویه یا ثالثیه در اطراف کاربید اولیه‌ای که در مرز دانه و اطراف آن قرار دارند تشکیل می‌شود یعنی چگالی تعداد ذرات کاربید ثانویه یا ثالثیه در اطراف کاربید اولیه، نسبت به سایر قسمتهای زمینه، بیشتر است.

آستنیت باقیمانده صحه می‌گذارد اما هدف از اولین عملیات زیر صفر، تبدیل آستنیت‌های باقیمانده احتمالی به مارتنتزیت می‌باشد که پس از عملیات برگشت، کاربید ثانویه تشکیل می‌دهد. به این ترتیب در دومین عملیات زیر صفر (عملیات زیر صفر مجدد) آستنیت باقیمانده‌ای وجود ندارد که به مارتنتزیت استحاله یابد و اگر هم وجود داشته باشد پایدار بوده و لذا در استحاله (آستنیت باقیمانده به مارتنتزیت) نقشی ایفا نمی‌کند. بنابراین کاربیدهای ثانویه‌ای که پس از عملیات زیر صفر مجدد (دومین عملیات زیر صفر) تشکیل می‌شوند از مکانیزم دیگری ناشی می‌شوند که دومین مکانیزم تشکیل کاربید ثانویه در فولاد ابزار مورد تحقیق نام‌گرفته و به این صورت بیان می‌شود: "به دلیل اختلاف در ضریب انقباض فاز کاربید اولیه با فاز زمینه، تنش به وجود می‌آید. تنش

مراجع

- Das D., Ray K.K., Dutta A.K., "Influence of temperature of sub-zero treatments on the wear behavior of die steel", *Wear*, Vol. 267, pp. 1361-1370, (2009).
- Darwin J.D., Mohan L.D., Nagarajan G., "Optimization of cryotreatment to maximize the wear resistance of 18% Cr martensitic stainless steel by Taguchi method", *Journal of Materials Processing Technology*, Vol. 195, pp. 241-247, (2008).
- Li S., Deng L., Wu X., "The mechanism investigation of deep cryogenic treatment on high alloy martensitic steel by low frequency internal friction", *Cryogenics*, Vol. 50, pp. 433–438, (2010).
- Bensely A., Senthilkumar D., Mohan L.D., Nagarajan G., Rajadurai A., "Effect of cryogenic treatment on tensile behavior of case carburized steel 815M17", *Materials Characterization*, Vol. 58, pp. 485-491, (2007).
- Baldissera P., "Fatigue scatter reduction through deep cryogenic treatment on the 18NiCrMo5 carburized steel", *Materials and Design*, Vol. 30, pp. 3636-3642, (2009).
- Hong-xiao C.H.I., Dang-shen M.A., Qi-long Y., Li-zhi W.U., Zhan-pu Z., Yong-wei W., "Effect of cryogenic Treatment on Properties of Cr8-Type Cold Work Die Steel", *International Journal of Iron and Steel Research*, Vol. 17, pp. 43-46, (2010).
- Koneshlo M., Asl K.M., Khomamizadeh F., "Effect of cryogenic treatment on microstructure, mechanical and wear behaviors of AISI H13 hot work tool steel", *Cryogenics*, Vol. 51, pp. 55-61, (2011).
- He Y., Yang K., Qu W., Kong F., Su G., "Strengthening and toughening of a 2800-MPa grade maraging steel", *Material Letters*, Vol. 56, pp. 763-769, (2002).

9. Mehtedi M.E., Ricci P., Drudi L., Mohtadi S.E., Cabibbo M., Spigarelli S., "Analysis of the effect of Deep Cryogenic Treatment on the hardness and microstructure of X30 CrMoN 151 steel", *Materials and Design*, Vol. 33, pp. 136-44, (2012).
10. Das D., Ray K.K., "Structure-property correlation of sub-zero treated AISI D2 steel", *Materials Science and Engineering A*, Vol. 541, pp. 45-60, (2012).
11. Wegst C.W., "Key to Steel", Wegst GMBH, Germany, pp. 125, (1989).
12. Amini K., Nategh S., Shafyei A., "Influence of different cryotreatments on tribological behavior of 80CrMo12 5 cold work tool steel", *Materials and Design*, Vol. 31, pp. 4666-4675, (2012).
13. Oppenkowski A., Weber S., Theisen W., "Evaluation of factors influencing deep cryogenic treatment that affect the properties of tool steels", *Journal of Materials Processing Technology*, Vol. 210, pp. 1949-1955, (2010).
14. Akhbarizadeh A., Golozar M.A., Shafeie A., Kholghy M., "Effects of austenizing time on wear behavior of D6 tool steel after deep cryogenic treatment", *Journal of Iron and Steel Research*, Vol. 16, pp. 29-32, (2009).
15. Farhani F., Niaki K.S., "A Programmable System for Treatment of Alloy Steels at Cryogenic Temperatures", *Advanced Materials Research*, Vol. 264-265, pp. 1240-1245, (2011).
16. BS EN 10002-1, "Metallic materials tensile testing, Part 1: method of test at ambient temperature", British Standards Institution, (2001).
17. Dieter GE., "Mechanical Behavior under tensile and compressive loads", ASM Handbook, Vol. 8, Mechanical Testing and Evaluation, Ohio: ASM international, pp. 5 and pp. 100-103, (2000).
18. Vermeulen W.G., Morris P.F., De Weijer A.P., Van Der Zwaag S., "Prediction of martensite start temperature using artificial neural networking", *Ironmaking and Steelmaking*, Vol. 23, Issue 5, pp. 433-437, (1996).
19. Cullity B.D., "Elements of X-ray Diffraction", 2nd ed., London, England: Addison-Wesley publishing company, pp. 555, (1978).
20. Li S., Deng L., Wu X., Wang H., Min Y., Min N., "Effect of deep cryogenic treatment on internal friction behaviors of cold work die steel and their experimental explanation by coupling model", *Materials Science and Engineering A*, Vol. 527, pp. 7950-7954, (2010).
21. Tyschenko A.I., Theisen W., Oppenkowski A., Siebert S., Razumov O.N., Skoblik A.P., Sirosh V.A., Petrov Y.N., Gavriljuk V.G., "Low-temperature martensitic transformation and deep cryogenic treatment of a tool steel", *Materials Science and Engineering A*, Vol. 527, pp. 7027-7039, (2010).
22. Hao-huai L., Wang J., Bao-luo S., Hong-shan Y., Sheng-ji G., Si-jiu H., "Effects of deep cryogenic treatment on property of 3Cr13Mo1V1.5 high chromium cast iron", *Materials and Design*, Vol. 28, pp. 1059-1064, (2007).
23. Porter D.A., Easterling, K.E., "Phase transformation in metals and alloys", 3rd edition, Van Nostrand Reinhold Co. Ltd. (UK), England, pp.315-316, (1983).